

回归分析法研究补强剂对丁腈橡胶/氯化聚乙烯橡胶并用胶性能的影响

曾凡伟¹,肖建斌¹,孙军平²,刘志坡²

(1. 青岛科技大学 橡塑材料与工程教育部重点实验室,山东 青岛 266042;2. 中国北车集团青岛四方车辆研究所,山东 青岛 266031)

摘要:用回归分析法研究快压出炭黑(FEF)和甲基丙烯酸锌(ZDMA)用量对丁腈橡胶(NBR)/氯化聚乙烯橡胶(CM)并用胶性能的影响。结果表明:在试验范围内,随着 FEF 用量的增大,NBR/CM 并用胶的邵尔 A 型硬度、拉伸强度、撕裂强度以及耐油性能提高,拉断伸长率下降,压缩永久变形减小;随着 ZDMA 用量的增大,NBR/CM 并用胶的邵尔 A 型硬度、拉伸强度、撕裂强度以及耐油性能提高,拉断伸长率略有下降,压缩永久变形有所增大。

关键词:丁腈橡胶;氯化聚乙烯橡胶;并用胶;快压出炭黑;甲基丙烯酸锌;物理性能;回归分析

中图分类号:TQ330.38;TQ333.7;TQ333.92 **文献标志码:**B **文章编号:**1000-890X(2012)06-0348-04

不饱和羧酸盐是自 20 世纪 70 年代开始发展起来的新型补强剂,不饱和橡胶中 β -苯基丙烯酸、马来酸、甲基丙烯酸等的锌、镁和钠盐的应用研究较为系统^[1-4]。与传统的炭黑补强胶料相比,不饱和羧酸盐补强胶料在相当宽的硬度范围内都有很高的强度;不饱和羧酸盐的用量增大,胶料粘度变化不大,具有良好的加工性能,即使在高硬度下仍具有较高的伸长率,具有较高的弹性和较低的生热^[5-6]。

丁腈橡胶(NBR)因耐油性良好、物理性能优异而广泛应用于制造各种耐油密封制品;氯化聚乙烯橡胶(CM)具有良好的耐候性、耐热老化性能以及一定的耐油性能。NBR 与 CM 极性相近,相容性良好,二者可以通过过氧化物硫化达到共交联,得到既耐油又耐老化的高性能胶料。

本工作采用回归分析法研究快压出炭黑(FEF)和甲基丙烯酸锌(ZDMA)用量对 NBR/CM 并用胶性能的影响。

1 实验

1.1 主要原材料

NBR, 牌号 1052, 中国台湾南帝化学工业股

作者简介:曾凡伟(1986—),男,山东潍坊人,现在中国北车集团青岛四方车辆研究所工作,硕士,主要从事橡胶加工工艺方面的研究工作。

份有限公司产品;CM, 牌号 135B, 潍坊亚星化学股份有限公司产品;ZDMA, 青岛双利化工有限公司产品;加工助剂 T, 莱茵化学(青岛)有限公司产品。

1.2 基本配方

NBR 60, CM 40, 氧化锌 2.5, 硬脂酸 1, 加工助剂 T 1, 防老剂 RD 1, 硫化剂 DCP 2.5, FEF 和 ZDMA 变量。

1.3 主要设备和仪器

X(S)K-160 型开炼机, 上海双翼橡塑机械有限公司产品;GT-M2000-A 型无转子硫化仪、AI-7000M 型拉力试验机, 中国台湾高铁科技股份有限公司产品;HS100T-FTMO-90 型电加热平板硫化机, 佳鑫电子设备科技有限公司产品。

1.4 试样制备

100 ℃热辊上将 CM 塑炼成片→加入 NBR 混炼、薄通至均匀→加入硫化剂以外的各种小料→混炼→加入 FEF 和 ZDMA→混炼→加入硫化剂→薄通 6 次→下片→停放 24 h→硫化仪测试→硫化(硫化条件为 175 ℃/10 MPa)。硫化后的试样在室温下停放 10 h 后进行性能测试。

1.5 性能测试

各项性能均按相应的国家标准进行测试。压缩永久变形试验条件为:120 ℃×24 h, 压缩率为

25%。耐油试验条件为 100 °C × 24 h。

2 结果与讨论

2.1 试验设计

采用两变量配方回归分析设计法设计试验方案。ZDMA 和 FEF 的用量(X_1 和 X_2)作为 2 个配方因子, 分别考察其与胶料各项性能之间的关系。因子和水平见表 1, 试验方案见表 2。

2.2 试验结果及分析

测得 NBR/CM 并用胶各配方硫化胶的性能如表 3 所示。

2.2.1 邵尔 A 型硬度

FEF 和 ZDMA 用量对 NBR/CM 并用胶邵尔 A 型硬度的影响如图 1 所示。由图 1 可见, FEF

表 1 因子和水平

水 平	因 子	
	X_1	X_2
-1	10	10
0	20	30
+1	30	50

表 2 试验方案

试验编号	因 子	
	X_1	X_2
1	-1	-1
2	-1	0
3	-1	+1
4	0	-1
5	0	0
6	0	+1
7	+1	-1
8	+1	0
9	+1	+1

和 ZDMA 用量的增大都会使并用胶邵尔 A 型硬度显著增大, ZDMA 用量的影响更明显。

2.2.2 拉伸强度

FEF 和 ZDMA 用量对 NBR/CM 并用胶拉伸强度的影响如图 2 所示。由图 2 可见, 随着 FEF 和 ZDMA 用量的增大, 胶料拉伸强度都显著提高, 尤其是在 ZDMA 用量 30 份以内时, 其对拉伸强度的影响比 FEF 用量对拉伸强度的影响大。

2.2.3 拉断伸长率

FEF 和 ZDMA 用量对 NBR / CM 并用胶拉

表 3 试验结果

项 目	试验编号								
	1	2	3	4	5	6	7	8	9
邵尔 A 型硬度/度	75	82	87	82	86	90	86	90	94
100% 定伸应力/MPa	5.8	10.6	17.4	9.9	15.4	20.5	13.9	19.4	23.1
拉伸强度/MPa	13.8	20.1	22.7	17.6	20.9	23.1	19.4	22.2	23.7
拉断伸长率/%	190	185	135	171	144	111	143	130	108
撕裂强度/(kN · m ⁻¹)	30	40	43	34	42	42	42	45	45
压缩永久变形/%	30.4	32.1	34.6	38.8	39.8	47.3	43.2	49.7	52.4
ASTM3# 油浸泡后体积变化率/%	25.4	22.8	20.3	21.1	19.5	17.5	19.0	17.5	14.7

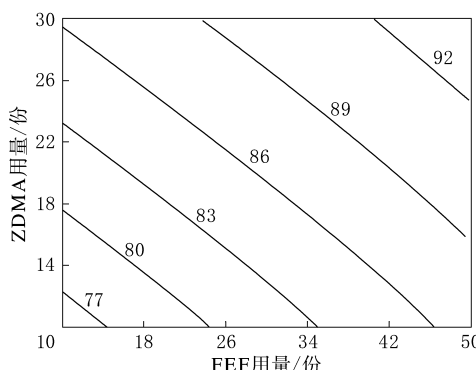


图 1 NBR/CM 并用胶邵尔 A 型硬度(度)的等高线

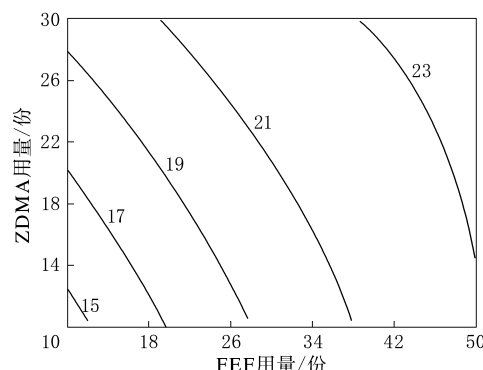


图 2 NBR/CM 并用胶拉伸强度(MPa)的等高线

断伸长率的影响如图 3 所示。由图 3 可见, FEF 和 ZDMA 用量的增大都会使并用胶的拉断伸长率下降, 但 FEF 用量对拉断伸长率的影响比 ZDMA 用量大得多。因此, 影响并用胶拉断伸长率的主要因素是 FEF 用量, ZDMA 用量影响很小。

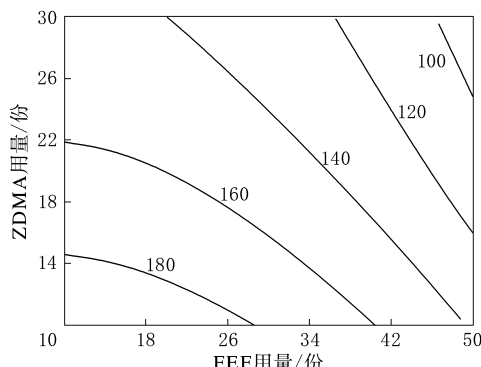


图 3 NBR/CM 并用胶拉断伸长率(%)的等高线

2.2.4 撕裂强度

FEF 和 ZDMA 用量对 NBR/CM 并用胶撕裂强度的影响如图 4 所示。由图 4 可见, FEF 和 ZDMA 用量的增大都会使胶料的撕裂强度提高。ZDMA 能够参与橡胶的交联, 因此其用量增大能够更显著提高撕裂强度, 而 FEF 用量超过 40 份时, FEF 用量增大对撕裂强度影响较小。

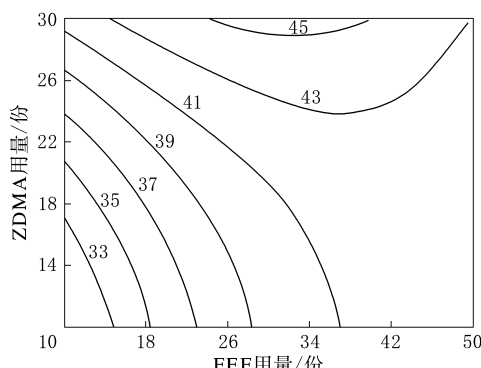


图 4 NBR/CM 并用胶撕裂强度($\text{kN} \cdot \text{m}^{-1}$)的等高线

2.2.5 压缩永久变形

FEF 和 ZDMA 用量对 NBR/CM 并用胶压缩永久变形的影响如图 5 所示。由图 5 可以看出: 随着 FEF 用量的增大, 胶料的压缩永久变形减小; 随着 ZDMA 用量的增大, 胶料的压缩永久变形增大, 但是 ZDMA 用量对压缩永久变形的影响较小。

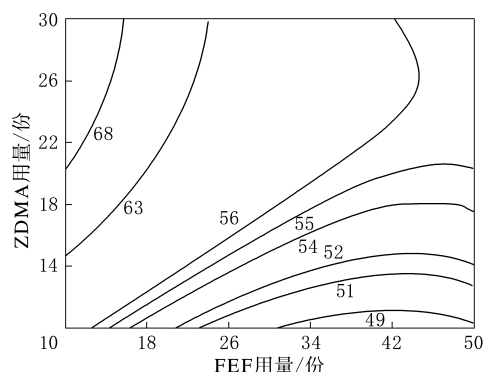


图 5 NBR/CM 并用胶压缩永久变形(%) 的等高线

2.2.6 耐油性能

FEF 和 ZDMA 用量对 NBR/CM 并用胶 ASTM3[#] 油浸泡后体积变化率的影响如图 6 所示。由图 6 可见, FEF 和 ZDMA 用量的增大都会使并用胶的体积变化率减小, 明显改善耐油性能。

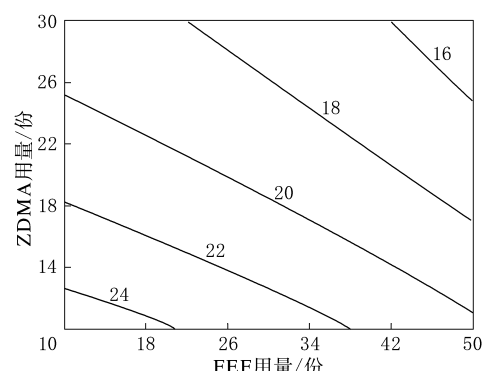


图 6 NBR/CM 并用胶 ASTM3[#] 油浸泡后
体积变化率(%) 的等高线

2.3 回归方程数学模型

胶料的各项性能与配方因子之间呈高度相关性, 通常采用如下多项式回归模型:

$$Y = b_0 + \sum b_i X_i + \sum \sum b_{ij} X_i X_j$$

式中, Y 表示性能指标, X 表示配方因子, b 为回归模型的因数, i 和 j 表示配方因子数。经过回归分析计算数学模型的系数, 可得到胶料的各项性能与 FEF 和 ZDMA 用量之间的回归方程式。

(1) 邵尔 A 型硬度

$$Y = 86.22 + 4.67X_1 + 4.33X_2 - 1.00X_1 X_2 - 0.33X_1^2 - 0.33X_2^2$$

(2) 拉伸强度

$$Y = 20.88 + 3.11X_1 + 1.45X_2 - 1.15X_1 X_2 - 0.82X_1^2 - 0.01X_2^2$$

(3) 拉断伸长率

$$Y = 148.89 - 27.50X_1 - 24.17X_2 + 1.25X_1X_2 - 11.83X_1^2 + 5.17X_2^2$$

(4) 撕裂强度

$$Y = 41.21 + 3.48X_1 + 2.93X_2 - 2.82X_1X_2 - 3.21X_1^2 + 1.33X_2^2$$

(5) 压缩永久变形

$$Y = 15.47 + 3.05X_1 - 0.81X_2 - 1.00X_1X_2 + 0.35X_1^2 + 0.65X_2^2$$

(6) ASTM3[#] 油浸泡后体积变化率

$$Y = 19.54 - 2.17X_1 - 2.88X_2 + 0.20X_1X_2 - 0.27X_1^2 + 0.58X_2^2$$

3 结论

(1) 随着 FEF 用量的增大, NBR/CM 并用胶的邵尔 A 型硬度、拉伸强度、撕裂强度以及耐油性能提高, 拉断伸长率下降, 压缩永久变形减小。

(2) 随着 ZDMA 用量的增大, NBR/CM 并用胶的邵尔 A 型硬度、拉伸强度、撕裂强度以及耐油性能提高, 拉断伸长率略有下降, 压缩永久变形有所增大。

吉林石化丁苯橡胶环保再升级

中图分类号:TQ333.1 文献标志码:D

中国石油吉林石化分公司(简称吉林石化)研发的环保型充油丁苯橡胶(SBR)1739N 目前通过中国石油天然气股份公司组织的专家鉴定, 预计 2012 年下半年将开展产业化试验。这一产品的研发成功将助力吉林石化产品结构调整, 提高现有装置运行效益, 实现 SBR 产品环保再升级。

据介绍, SBR1739N 产品完全达到了欧盟 REACH 法规要求, 适用于生产深色橡胶制品, 加工性能优异, 生产的高速轮胎具有较好的抗湿滑性能。目前, 吉林石化正按项目计划, 加紧对原 SBR1500 生产线进行改造, 开展产业化试验的前期准备工作, 预计于 2012 年 10 月进行工业化试验。

在橡胶中填充一定量的矿物油, 可以改善橡胶的加工性能和物理性能, 降低成本。近年来, 随

(3) 采用回归分析法研究 FEF 和 ZDMA 用量对 NBR/CM 并用胶性能的影响, 一方面可以精确分析两因素对胶料各项性能的影响规律, 另一方面可以预测胶料的各项性能与配合剂用量之间的关系, 从而指导不同性能胶料配方的设计。

参考文献:

- [1] Dontsov A, Candia F D, Amelino L. Elastic Properties and Structure of Polybutadiene Vulcanized with Magnesium Methacrylate[J]. Journal Applied Polymer Science, 1972, 16(48): 505-518.
- [2] Dontsov A, Kanausova A A, Dogaskin B A. Salts of Unsaturated Acids as Crosslink Agents for Elastomers[J]. Polymer Compoumd (RSSR), 1967, 9(12): 2543-2547.
- [3] 赵阳, 张立群, 卢咏来, 等. 不饱和羧酸盐在橡胶工业中的应用[J]. 橡胶工业, 2000, 47(8): 497-502.
- [4] 袁新恒, 彭宗林, 张勇, 等. 不饱和羧酸锌盐对 NBR 的增强[J]. 合成橡胶工业, 2000, 23(3): 173-175.
- [5] 尹德荟, 张勇, 张隐西, 等. 原位生成甲基丙烯酸镁对过氧化物硫化丁苯橡胶的增强[J]. 合成橡胶工业, 2002, 25(2): 104-108.
- [6] 陈朝晖, 王迪珍, 罗东山, 等. NBR/Zn(MAA)₂ 合金性能与结构的关系[J]. 合成橡胶工业, 2000, 23(2): 107-110.

收稿日期: 2011-12-02

着国内充油 SBR 市场需求量的不断增加, 我国每年都从国外进口部分充油 SBR 以满足国内需求。

为缓解国内需求压力, 吉林石化加快了充油 SBR 产品的高端化实施步伐。从 2010 年 2 月开始, 投入 1 500 多万元组织工程技术人员立项攻关, 研发环保型充油 SBR1739N。在近两年的时间里, 技术人员通过对聚合配方和助剂的研究, 在核心技术上取得突破, 成功完成了小试开发, 产品中亚硝胺含量达到欧洲环保标准, 产品性能达到 SBR1739 国家优级品技术标准, 其生产工艺技术路线与 SBR1500 基本相同。

据介绍, 吉林石化采用新环保型助剂生产高结合苯乙烯含量的充油 SBR, 采用现有的分散控制系统, 在生产能力不变的情况下, 对现有装置改造即可实现共线生产, 生产规模为年产 1.5 万 t。

(摘自《中国化工报》, 2012-04-24)